

جغرافیا و توسعه شماره ۴۴ پاییز ۱۳۹۵

وصول مقاله: ۱۳۹۴/۰۷/۱۶

تأثیر نهایی: ۱۳۹۵/۰۳/۲۴

صفحات: ۱۰۷-۱۲۲

## ارزیابی توسعه کارست با استفاده از ویژگی‌های هیدرودینامیکی و هیدروژئوژئومیکی چشممه‌های کارستی در زاگرس (منطقه مورد مطالعه: تاقدیس قلاچه و توده پراو بیستون)

دکتر شهرام بهرامی<sup>۱</sup>، دکتر محمدعلی زنگنه اسدی<sup>۲</sup>، علی جهانفر<sup>۳</sup>

### چکیده

بررسی خصوصیات هیدرودینامیکی و هیدروژئوژئومیکی چشممه‌ها در لندفرم‌های کارستی زاگرس می‌تواند راهنمای مناسبی برای تعیین میزان تکامل کارست باشد. هدف این پژوهش مقایسه‌ی توسعه‌یافتگی کارست به کمک ویژگی‌های هیدرودینامیک، هیدروژئوژئومیکی چشممه‌های کارستی در زاگرس چین خورده و زاگرس مرفع است. در این تحقیق، منحنی فرود هیدروگراف چشممه‌های کارستی، مهمترین اکسیدهای موجود در سازندۀای آهکی، داده‌های هیدرولوژی چشممه‌ها، مورد بررسی قرار گرفت. ابتدا با استفاده از نقشه‌های توپوگرافی، زمین‌شناسی و تصاویر ماهواره‌ای لندفرم‌های کارستی دو ناحیه شناسایی گردید. بعد از بررسی ویژگی‌های زئومورفولوژی کارست و زمین‌شناسی در دو محدوده، منحنی فرود هیدروگراف چشممه در محدوده‌ی زاگرس چین خورده و چشممه در محدوده‌ی پراو - بیستون محاسبه شد. نتایج نشان‌دهنده ارتباط نزدیک بین لیتوژی و شکستگی‌ها با رفتار هیدرولوژی سیستم آب زیر زمینی در زاگرس چین خورده، و عدم ارتباط نزدیک بین شکستگی و لیتوژی در سیستم رورانده است. با استفاده از ویژگی‌های هیدرودینامیک و منحنی فرود چشممه‌ها، درجه توسعه‌یافتگی کارست در محدوده‌ی پراو - بیستون ۵ تا ۶ تعیین شد. برای آبخوان کارستی قلاچه درجه توسعه‌یافتگی کارست ۲.۵ تا ۳ تعیین شد. جریان چشممه‌ها در پراو - بیستون دارای چند زیر رژیم خطی و آشفته است در حالی که در چشممه‌های قلاچه تنها یک زیر رژیم یکنواخت است. تجزیه و تحلیل آهک‌های دو محدوده و نیز آنالیز شیمیایی آب چشممه نشان‌دهنده خلوص بالای آهک بیستون نسبت به آهک آسماری و در نتیجه وجود جریان انتشاری- مجرایی در بیستون در مقایسه با رژیم انتشاری در آبخوان کارستی قلاچه است.

**کلیدواژه‌ها:** کارست، هیدرودینامیک، هیدروژئومیکی، چشممه کارستی، قلاچه، پراو - بیستون.

## مقدمه

مطالعه منابع آب سازندهای کارستی، به دلیل تامین آب مصرفی جمعیت قابل توجهی از مردم مناطق مختلف جهان دارای اهمیت بسیار زیادی است. از عمدۀ چالشهای پیش رو در ایران کاهش منابع آبی و محدودیت بهره‌برداری از آبهای زیرزمینی است. بخش عمده‌ای از این منابع به شکل منابع آب کارست در سازندهای مستعد توسعه کارست مانند سازندهای کربناته در زاگرس شکل گرفته‌اند. در یکصد سال اخیر مطالعات گستردۀای در رابطه با کارست و منابع آب کارست در دنیا انجام شده است (Milanovic, 1981: 1-434; Atalay, 2003: 196-203; Gilli et al, 2010: 64-34; Ford and Williams, 2007: 1-554; Goldsneider et al, 2007: 1-263; Milanovic, 2004: 1-328; Andreo et al, 2006: 54-73; Mohamadi et al, 2007: 206-220).

در ایران نیز اخیراً به واسطه‌ی اهمیت موضوع، مطالعاتی در زمینه کارست انجام شده است (مفهومی و همکاران، ۱۳۸۸: ۵۱-۶۵؛ رنگز و همکاران، ۱۳۸۴: ۵۲۱-۵۳۹؛ جهانی بهبهانی، ۱۳۷۲: ۱-۱۵۵، کاظمی و همکاران، ۱۳۸۵: ۳۳-۴۱؛ ۱۳۸۱: ۱۳۵-۱۴۷؛ تالی فهرودی و همکاران، ۱۳۹۳: ۳۷-۳۹؛ دشتی برمهی و همکاران، ۱۳۹۴: ۱۰۰-۱۰۹؛ مرادی، ۱۳۸۹: ۲۱-۲۳؛ بهرامی و همکاران، ۱۳۹۲: ۷۱-۱۴؛ قبادی و همکاران، ۱۳۹۰: ۳۱-۲۹۹؛ یمانی و همکاران، ۱۳۹۰: ۶۶-۵۷؛ ولایتی و همکار، ۱۳۹۱: ۱۸۹-۱۷۱).

تحول کارست در کوه پراو- بیستون، نقش مهمی در تغذیه آبخوان‌های کارستی دارد و خصوصیات تکتونیکی، زمین‌شناسی و اقلیم گذشته باعث توسعه و تحول کارست در منطقه مذکور شده و عوارض کارستی نقش زیادی در تغذیه منابع آب زیرزمینی دارند ( محمودی، ۱۳۸۰: ۹۳).

تحول و توسعه‌ی کارست تحت تأثیر عوامل مختلفی قرار دارد که در این میان نقش ترکیب سنگی و

ویژگی‌های آن و عوامل ساختاری همچون گسل‌ها و درزهای اهمیت زیادی دارد (کلانتری و همکاران، ۱۳۸۱: ۱۳۵).

لندرفرم‌های کارستی در مسیرهایی شکل می‌گیرند که توسط عوامل ساختاری کنترل می‌شوند (Ford and Williams, 2007: 33).

شکستگی‌های توده‌های سنگی در توسعه‌ی کارست نقش اساسی دارند. با توجه به وجود درز و شکاف‌های زمین ساختی همراه با فعالیت‌های انحلالی، شرایط برای نفوذ آب به صورت متلاطم در راستای ژرف‌وا و قرارگیری بیشتر سنگ‌های (در واحد سطح) در معرض انحلال فراهم می‌شود (Milanovic, 2004: 34).

چشمهدۀای کارستی تنها محلی هستند که می‌توان با کمک مدل‌های کمی و هیدروگراف جریان چشمهدۀا، اطلاعات کاملی از عملکرد کل سیستم، کارست در یک ناحیه به دست آورد (Bakalowicz, 2005: 158).

نتایج هیدروژئوشیمی چشمهدۀای کارستی نشان-دهنده‌ی حالت فوق اشباع کلیست و دولومیت در دوره‌ی خشک است. میزان انحلال به سرعت جریان و نوع جریان (آشفته و خطی) وابسته است (قدیمی و همکاران، ۱۳۹۳: ۲۷۲). پاسخ هیدروژئومیابی و هیدرودینامیکی در آبخوان‌های کارستی به شرایط جریان در این آبخوان‌ها بستگی دارد. هیدروگراف چشمهدۀا بازتاب مستقیم همه فرایندهای فیزیکی است که در آبخوان کارستی جریان آب زیرزمینی را تحت تأثیر قرار می‌دهد (Kuhta et al, 2012: 41). نقش لیتو استراتیگرافی در کارستی شدن رخمنون‌های کربناته منطقه نوا- قلاچه در غرب استان کرمانشاه حاکی از آن است که خطواره‌های منطقه در دو جهت کلی قرار دارند و تغذیه‌ی آبخوان‌ها از طریق این خطواره‌ها و تخلیه‌ی آبخوان‌ها در امتداد گسل‌ها و شکستگی‌ها صورت می‌گیرد (قمری‌اویلی، ۱۳۷۶: ۱۱۹).

سطحی کارست بر ویژگی‌های هیدرودینامیکی آبخوان کارستی است (باقری و همکاران، ۱۳۹۴: ۳۳۳).

مطالعه‌ی رفتار هیدرودینامیکی چشمه کارستی گیلان غرب در غرب زاگرس در ایران با استفاده از داده‌های EC PH، دما و یونهای عمدۀ در هر دو هفته یکبار از سپتامبر ۲۰۰۰ تا ۲۰۰۲ اندازه‌گیری شد. سهم جريان مجاری در فصل خشک کاهش می‌یابد. اين نوع رفتار در آبخوان‌های با حوضه‌ی کشیده و باریک رخ می‌دهد. پهنه‌های کارستی در شمال غربی زاگرس و در استان کرمانشاه نقش مهمی در تغذیه‌ی آبخوان‌ها دارند (ملکی و اویسی، ۱۳۹۱: ۲).

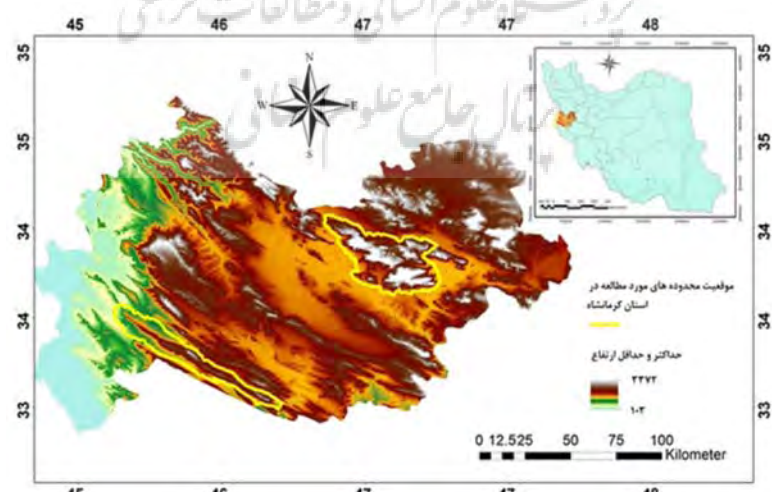
هدف اين پژوهش مقایسه‌ی توسعه‌یافتنگی کارست با تأکید بر ویژگی‌های هیدرودینامیکی و هیدرولوژیکی چشمه‌های کارستی به عنوان مهمترین عوامل پاسخ دهنده به شرایط ژئومورفولوژی و سنگ‌شناصی کربناته در دو سیستم کارستی تاقدیس قلاچه و سیستم کارست پراو-بیستون است.

فاصله از شکستگی‌ها ارتباط نزدیکی با موقعیت رخنمون چشمه‌ها دارد و درجه‌ی اشباع کلسیت با تراکم شکستگی‌ها در آهک‌های زاگرس دارد (کلانتری، ۱۳۱۸: ۱۳۵). تجزیه و تحلیل منحنی فروض هیدرولوژیکی است که می‌توان برای تفسیر ویژگی‌های آبخوان کارستی از آن استفاده کرد (Kresic and Bonacci, 2010: 130).

تجزیه و تحلیل هیدرولوژیکی چشمه‌ها و منحنی فروض وضعت آبخوان کارستی را از نظر شکستگی سازند (Boonaci, 1993: 51).

در ارتباط با استفاده از ضریب فروکش، جهت ارزیابی شرایط هیدرولوژیکی و هندسی آبخوان کارستی، تنها استفاده از رابطه‌ی خطی مایل است، بلکه در ارزیابی شرایط آبخوان کارستی به خصوص در دوره‌ی خشک، از داده‌های هیدروشیمیایی و مدل‌های عددی می‌توان کمک گرفت (Fiorillo, 2012: 156).

با مطالعه‌ی منحنی فروض هیدرولوژیکی پنج چشمه در آبخوان کارستی حوضه‌ی الوند درجه‌ی توسعه‌یافتنگی کارست تعیین و نوع زیر رژیم چشمه‌ها مشخص شد که نشان‌دهنده تأثیر تفاوت‌های محلی و ژئومورفولوژی



شکل ۱: موقعیت تاقدیس قلاچه و توده پراو-بیستون در استان کرمانشاه و غرب ایران

تهریه و ترسیم: نگارندگان، ۱۳۹۴

به ترتیب وسعت و رخمنون عبارتند از سازند آهکی آسماری، سازند ایلام و سازند آسماری- شهر بازان. وجود گسل خوردگی و جنس سازند سبب شکل‌گیری لندرفرم‌های متنوع کارستی خصوصاً در شرق تاقدیس گردیده، چرخه‌ی آب‌های زیرزمینی (در گذشته یا حال) در ارتباط با شکستهای سطحی در سنگ‌های کربناته با فرایندهای انحلال و رسوب‌گذاری عامل شکل‌گیری ژئومورفولوژی کارست در محدوده‌ی قلاچه شده است. اقلیم هردو محدوده‌ی مدیترانه‌ای است. گرادیان دما و بارش در هر دو منطقه تحت تأثیر عامل ارتفاع هستند. نمودار گرادیان دمای سالانه نشان‌دهنده‌ی همبستگی بالای دما و ارتفاع است. جدول ۴، ویژگی‌های بارش ایستگاه‌های دو محدوده را نشان می‌دهد.

#### شرایط کارست‌زاپی در دو محدوده

خلوص بالای آهک بیستون، ضخامت سازند کربناته، عملکرد آرام تکتونیک، امتداد و گستردگی درز و شکاف‌ها و عملکرد مؤثر گسل اصلی زاگرس، کلکسیونی از اشكال کارستی مانند لاپیه، فروچاله‌ها (دولین، اووالا و پولیه)، غار، چشمه‌های کارستی و دیگر اشكال را می‌توان در توده پراو- بیستون مشاهده نمود. یکی از مهمترین شواهد توسعه‌ی کارست وجود پولیه است، اساساً پولیه‌ها نماد نواحی کارستی هستند و وجود وسعت پولیه‌ها بیانگر گسترش کارست کامل در یک ناحیه است (Cooper et al., 2011:118-131).

در زاگرس چین‌خورده، علیرغم مساعدت اقلیم و وجود سازندهای مساعد شکل‌گیری کارست مانند آهک‌های توده‌ای آهک آسماری- شهر بازان، لندرفرم‌های کارستیک ناحیه متعدد اما گستردگی و تکامل آنها محدودتر از توده‌ی پراو- بیستون است.

#### محدوده‌ی مورد مطالعه

نواحی مورد مطالعه به ترتیب در توده پراو- بیستون در واحد زاگرس شکسته و تاقدیس قلاچه در زاگرس چین‌خورده قرار دارد.

توده پراو- بیستون با مساحت ۱۰۵۰ کیلومتر مربع در طول جغرافیایی  $28^{\circ} 45' - 46^{\circ} 5'$  شرقی و عرض جغرافیایی  $30^{\circ} 34' - 34^{\circ} 43'$  شمالی و تاقدیس قلاچه با مساحت ۸۳۴ کیلومتر مربع طول جغرافیایی  $53^{\circ} 45' - 55^{\circ} 35'$  شرقی و عرض جغرافیایی  $9^{\circ} 34' - 41^{\circ} 34'$  شمالی قرار گرفته‌اند (شکل ۱). بیشینه ارتفاع در توده پراو- بیستون ۳۴۴۰ متر و در تاقدیس ۲۳۵۵ متر است. جهت‌یافتنی اصلی محور تاقدیس شمال غربی- جنوب شرقی است. گسل اصلی تاقدیس از نوع برشی با امتداد شمال غربی- جنوب شرقی است. هریک از این واحدها در دوره‌های زمین‌شناسی با توجه به موقعیتی که دارند شرایط رسوبی و تکتونیکی متفاوتی داشته‌اند. همین امر در شکل‌گیری لندرفرم‌های ژئومورفولوژیکی متفاوت در هر دو تأثیر اساسی داشته است. با توجه به تاریخچه‌ی زمین‌شناسی در دوره‌ی ژوراسیک شرایط رسوب‌گذاری ثابتی در زاگرس به وجود آمده است و بر روی فلات قاره و پلاتفرم کربناته داخلی رسوب‌های کم عمق آهکی تهذیب شده است (آهک بیستون) در حوضه‌های عمیق چرت و رادیولاریت انباسته شده است. این ویژگی به خوبی در حوضه‌های مجاور توده‌ی بیستون و پراو در کرمانشاه دیده می‌شود. در تاقدیس قلاچه سازندهایی شکل گرفته نمایانگر محیط آبی در کرتاسه‌ی میانی و پایانی است. تاقدیس قلاچه با توپوگرافی پشت نهنگی دارای هسته‌ای از مارن و شیل گورپی است که توسط آهک آسماری پوشیده شده است. مهمترین سازندهای کربناته در تاقدیس قلاچه



شکل ۲: تصاویر اشکال کارستی محدوده‌های مورد مطالعه ((الف) شکل‌گیری لایه در توده بیستون - پراو

(ب) جاما(ج) دولین ریزشی در توده بیستون - پراو، اشکال کارستی محدوده قلاچه

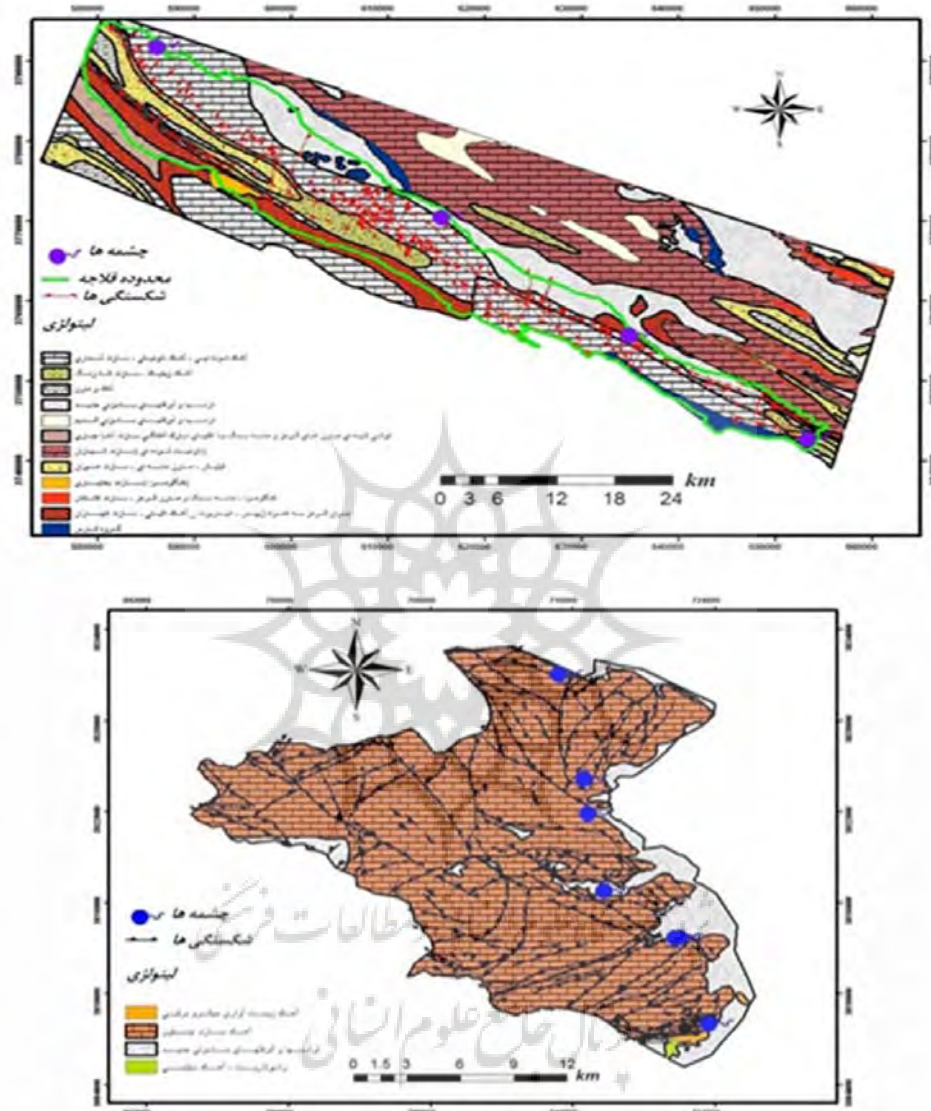
(د) توسعه پولیه با کف هموار در آهک آسماری تاقدیس قلاچه (e) درزهای توسعه یافته در آهک آسماری

تئیه و ترسیم: نگارندگان، ۱۳۹۴

قلاچه ۲ آبخوان کارستی شامل ۴ چشمه مورد استفاده قرار گرفت. روابط کمی متعددی جهت توضیح رفتار هیدرودینامیک چشمه‌ها وجود دارد. در هر چشمه‌ی کارستی یک یا چند رژیم جریان خطی یا آشفته به تخلیه آبخوان کارستی می‌پردازند. با استفاده از روابط کمی و منحنی فرود چشمه‌ها در فصل کم آبی می‌توان بسیاری از ویژگی‌های آبخوان کارستی را مطالعه نمود. منحنی فرود در چشمه‌های کارستی عبارت است از دوره‌ی زمانی بین حداکثر دبی (دبی پیک) تا افزایش مجدد دبی در پایان دوره‌ی کم آبی و افت منحنی فرود. از مهمترین روابط کمی که به توضیح منحنی فرود کمک می‌کند رابطه‌ی مایلت (۱۹۰۵) است. بسیاری از روابط کمی دیگر که حتی در سال‌های اخیر پیشنهاد شده‌اند، بر اساس رابطه‌ی مایلت هستند.

## مواد و روش‌ها

در این پژوهش، پس از بازدیدهای صحرایی از محدوده‌های مورد مطالعه، اشکال و لندرفمهای کارستی، گسل‌ها و شکستگی‌ها شناسایی و موقعیت هر یک از آنها با استفاده از سیستم GPS مشخص گردید. با استفاده از نقشه ۱:۱۰۰۰۰ زمین‌شناسی کرمانشاه، کرکسار، کامیاران، کرند و ایلام نقشه‌ی رقومی زمین‌شناسی دو محدوده مطالعاتی تهیه شد. با هدف تجزیه و تحلیل منحنی فرود هیدرограф، از داده‌های آماری ایستگاههای هیدرومتری و باران‌سنج در دوره‌ی آماری ۱۳۸۱-۱۳۹۱ استفاده شد. با توجه به تفاوت‌های دو محدوده از منظر توسعه یافته‌ی کارست، تفاوت در سنگ‌شناسی کربناته، شرایط ژئومورفولوژی و شرایط اقلیمی از محدوده پراو- بیستون داده‌های تعداد ۵ آبخوان کارستی مشتمل بر ۷ چشمه و از محدوده



شکل ۳: نقشه زمین‌شناسی دو محدوده مورد مطالعه، موقعیت چشمه‌ها و توزیع شکستگی‌ها

تهیه و ترسیم: نگارندگان، ۱۳۹۴

$$\alpha = \frac{\log Q_1 - \log Q_2}{t_2 - t_1} \quad \text{رابطه ۲} \quad Q_t = Q_0 e^{-\alpha t} \quad \text{رابطه ۱}$$

که در این رابطه مقدار  $Q_0$  و  $Q_1 = Q_t$  و  $t_2 - t_1 = t$  است. در سال‌های بعد دو رابطه زیر به ترتیب برای جریان خطی و جریان آشفته پیشنهاد شد

در این رابطه  $Q_t$  آبدهی چشمه در زمان  $t$  بر حسب متر مکعب بر ثانیه،  $Q_0$  آبدهی اولیه چشمه در زمان  $t=0$  پایه لگاریتم طبیعی و  $\alpha$  ضریب فروکش چشمه است که از رابطه‌ی (۲) محاسبه می‌شود.

(جدول ۴). هرچه میزان ضرایب فوق‌الذکر به ۱ نزدیک‌تر باشند، آبدھی چشمھ بکنواخت‌تر و بادوام‌تر است. یکی از ضرایب تعیین‌کننده در ویژگی‌های هیدرودینامیک چشمھ‌ها، ضریب تغییرات دبی چشمھ‌ها است که از رابطه (۴) محاسبه می‌شود.

$$Cv = s/x \times 100$$

رابطه ۴:

Forkasiewicz & Paloc, 1967: 73-59; Cullman, 1980: 7-9 برای جریان خطی، رابطه همان رابطه خطی مایل است و برای جریان آشفته رابطه کولمان به شکل رابطه (۳) است.

$$Q_t = Q_0(1-\beta t)$$

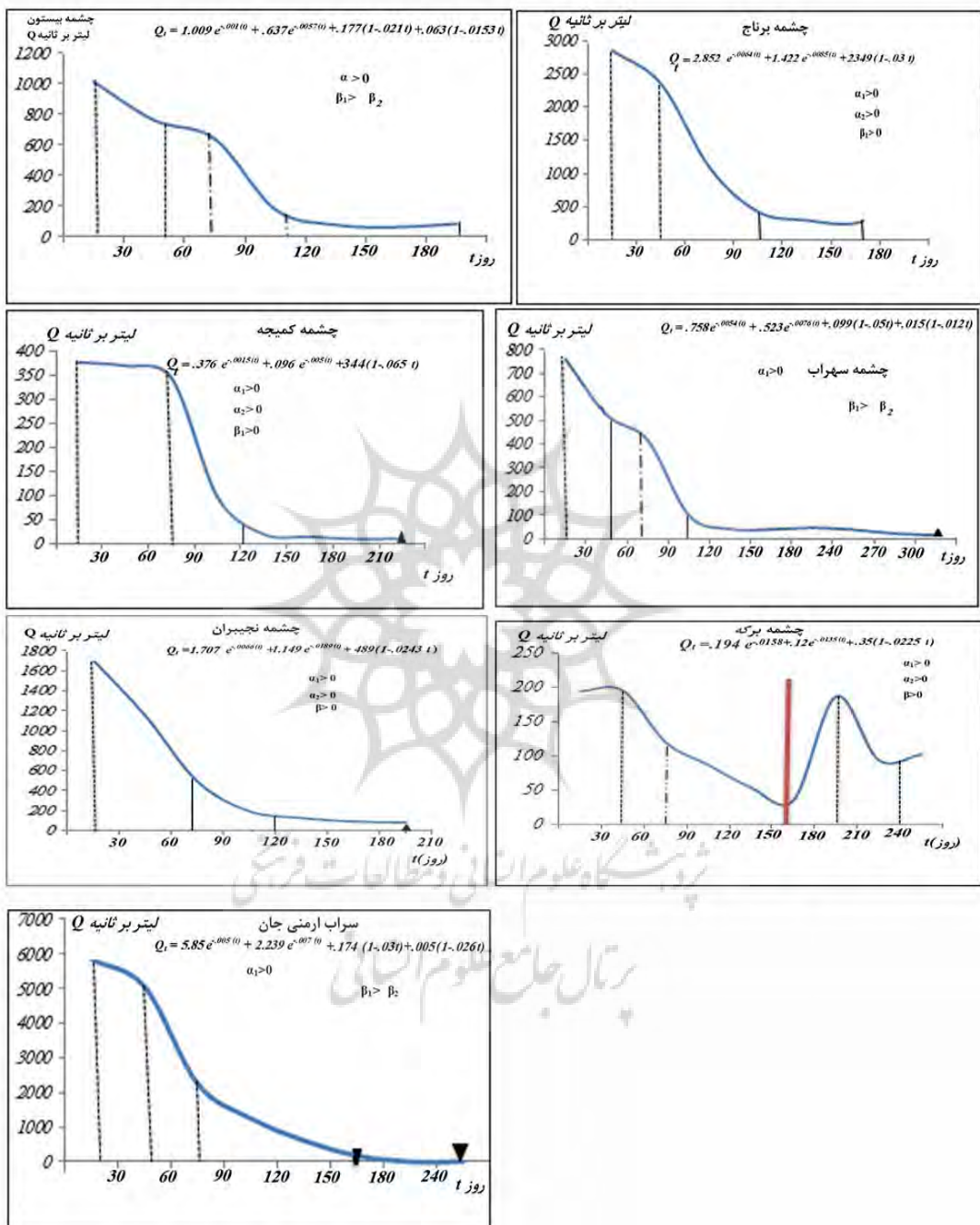
رابطه ۳:

در این رابطه  $S$  انحراف معیار دبی و  $X$  میانگین دبی سالانه است (جدول ۴). به منظور به کارگیری روش مالیک و وجتكوا در تعیین رژیم هیدرولوژی چشمھ‌ها و درجه‌ی توسعه‌یافتگی کارست، از آمار ده‌ساله چشمھ‌ها به دلیل حذف تأثیرگذاری عوامل ناگهانی در منحنی فروود استفاده شد (باقری و همکاران، ۱۳۹۴: ۳۳۹). پس از به کارگیری روابط فوق و تحلیل ویژگی‌های هیدروشیمی آب چشمھ‌ها، درجه توسعه‌یافتگی کارست در هر کدام از آبخوان‌های کارستی تعیین شد.

در این رابطه رابطه،  $Q_t$  آبدھی چشمھ در زمان  $t$  بر حسب متر مکعب بر ثانیه،  $Q_0$  آبدھی اولیه چشمھ در زمان ۰ و  $\beta$  ضریب فروکش در جریان آشفته است که برابر با شیب منحنی فروکش و  $t$  مدت‌زمان افت منحنی فروکش است. در سال‌های اخیر این روابط به شکل گسترده‌ای برای بررسی و توضیح رژیم‌های آبدھی به خصوص در آبخوان‌های کارستی استفاده شده است (Malik & Vojtkaova, 2012: 2245-2257). از این روابط جهت محاسبه درجه توسعه‌ی کارست و تهیه‌ی مدلی برای مقایسه‌ی توسعه‌یافتگی کارست به کمک رژیم جریان چشمھ کارستی بهره‌برداری شد. برای ارزیابی ویژگی‌های مربوط به حجم مخزن کارستی و تعیین مشخصات اصلی چشمھ‌ها علاوه بر تعیین آبدھی میانگین، آبدھی بیشینه و آبدھی کمینه، ضرایب ناهمشکلی ( $Kn$ ) و کمترین آبدھی ( $Km$ ) که بیان-کننده وضعیت آبخوان کارستی هستند، محاسبه شد.

جدول ۱: درجه توسعه یافتنگی کارست در آبخوان‌های کارستی

درجه توسعه کارست	زیر رژیم‌های جریان	رابطه منحنی فرود	مشخصات منحنی فرود	ویژگی کارستی
۱/۵	یک زیر رژیم	$Q_t = Q_1 e^{-\alpha t}$	$\alpha_1 > 0.01$	مناطق گسلی
۲,۳,۲	یک زیر رژیم مقدار بالای $\alpha$ .	$Q_t = Q_1 e^{-\alpha t}$	$\alpha_1 > 0.007$	نواحی تکتونیک و نفوذ پذیری زیاد
۰,۵ ۳	دارای دو یا چند زیر رژیم خطی با مقادیر کم $\alpha$ .	$Q_t = Q_1 e^{-\alpha t} + Q_2 e^{-\alpha_2 t}$	$\alpha_1 < 0.0024$ $\alpha_2 < 0.0033$	آبخوان‌های دارای درز و شکاف کوچک
۳,۷,۳,۵ ۴	دارای دو یا چند زیر رژیم خطی با مقادیر بالای $\alpha$ .	$Q_t = Q_1 e^{-\alpha t} + Q_2 e^{-\alpha_2 t}$	$\alpha_1 = 0.0024 - 0.0043$ $\alpha_2 = 0.06 - 0.16$ $\alpha_1 > 0.0043, \alpha_2 < 0.06$ $\alpha_1 = 0.041 - 0.018$ $\alpha_2 = 0.055 - 0.016$	توسعه‌ی نامنظم، شکاف‌های بزرگ و مجراهای کوچک
۴,۷,۴,۳ ۵	دارای زیر رژیم‌های آشفته و خطی و غلبه جریان خطی.	$Q_t = Q_1 e^{-\alpha t} + Q_2 e^{-\alpha_2 t} + (1-\beta_1 t)$	$0.018 < \alpha_1$ $0.016 < \alpha_2$ $\beta \alpha \text{ مقادیر کم}$	آبخوان گسلی شبکه متراکم درزه‌ها
۵,۵	یک زیر رژیم آشفته و دو زیر رژیم خطی.	$Q_t = Q_1 e^{-\alpha t} + Q_2 e^{-\alpha_2 t} + Q_3 + (1-\beta_1 t)$	$\alpha_1 > 0$ $\alpha_2 > 0$ $\beta_1 > 0$	درزه شکاف‌های متراکم و مجراهای وسیع
۶	دارای دو زیر رژیم آشفته و دو زیر رژیم خطی غلبه با زیر رژیم خطی.	$Q_t = Q_1 e^{-\alpha t} + Q_2 e^{-\alpha_2 t} + Q_3 + (1-\beta_1 t) + Q_4 + (1-\beta_2 t)$	$\alpha \text{ و } \beta \text{ مقادیر زیاد}$	درزه و شکاف‌ها متراکم و مجرای وسیع
۷	یک زیر رژیم خطی و دو یا سه زیر رژیم آشفته و غلبه با زیر رژیم خطی در تخلیه جریان.	$Q_t = Q_1 e^{-\alpha t} + Q_2 e^{-\alpha_2 t} + Q_3 + (1-\beta_1 t) + Q_4 + (1-\beta_2 t) + Q_5 + (1-\beta_3 t)$	$\alpha \text{ و } \beta \text{ مقادیر زیاد}$ $\beta_1 < \beta_2$	آبخوان توسعه یافته، درزه‌ها و شکاف‌های وسیع ناشی از تکتونیک و مجراهای وسیع
۸	یک زیر رژیم خطی و دو زیر رژیم آشفته رژیم آشفته عامل اصلی تخلیه.	$Q_t = Q_1 e^{-\alpha t} + Q_2 e^{-\alpha_2 t} + Q_3 + (1-\beta_1 t) + Q_4 + (1-\beta_2 t) + Q_5 + (1-\beta_3 t)$	$\alpha \text{ و } \beta \text{ مقادیر زیاد}$	آبخوان بسیار توسعه یافته و مجراهای زیاد و کاهش اثر درزه‌ها در تخلیه
۸,۵	وجود جریان آشفته و تخلیه از منطقه وادوز.	$Q_t = Q_3 + (1-\beta_1 t)$	$\alpha_2 > \alpha_1 \text{ و } \alpha_B > 0$	آبخوان کارستی به خوبی توسعه یافته
۹	دارای دو رژیم آشفته.	$Q_t = Q_3 + (1-\beta_1 t) + Q_4 + (1-\beta_2 t) + (-1\beta_3 t)$	$\beta_2 \text{ و } \beta_3 \text{ مقادیر کم}$	آبخوان کارستی توسعه یافته با ارتباط کم با منطقه فراتیک
۱۰	دارای سه رژیم آشفته متفاوت.	$Q_t = Q_3 + (1-\beta_1 t) + Q_4 + (1-\beta_2 t) + Q_5 + (1-\beta_3 t)$	$\beta_1 \text{ و } \beta_2 \text{ و } \beta_3 \text{ مقادیر زیاد}$	آبخوان کارستی توسعه یافته تخلیه از وادوز



شکل ۴: نمودار منحنی فرود، رابطه منحنی فرود در چشمیده‌های کارستی و مقادیر  $\alpha$  و  $\beta$  برای تعیین درجه توسعه یافتنی کارست  
تهیه و ترسیم: نگارنگان، ۱۳۹۴

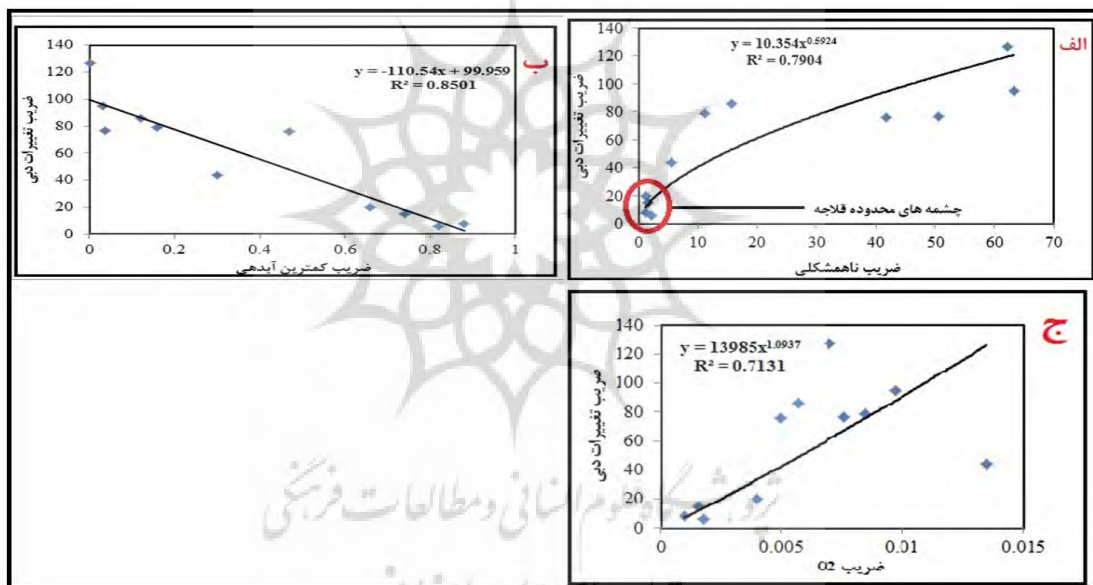
به (شکل ۴) و (جدول ۱) درجه توسعه یافتنگی کارست ۵,۵ و یک زیر رژیم آشفته با دو زیر رژیم خطی تخلیه آبخوان در فصل خشک را انجام می‌دهند. مقادیر  $\alpha_1$ ،  $\alpha_2$  و  $\beta_1$  بیشتر از صفر است. (شکل ۴) گویای این است که چشمه‌های محدوده‌ی تاقدیس قلاچه دارای منحنی فرود یکنواختی هستند و تنها دو زیر رژیم خطی با تغییر بسیار ناچیز در این آبخوان‌ها حاکم است. (شکل ۵) نمودار همبستگی بین تغییرات آبدهی چشمه‌ها و ضریب ناهمشکلی، ضریب  $\alpha$  و ضریب کمترین آبدهی در آبخوان‌های کارستی دو محدوده را نشان می‌دهد. با توجه به شکل ۵ (الف)، دایره‌ی قرمز رنگ چهار چشمه قلاچه را نشان می‌دهد، مقدار ضریب تغییرات برای چشمه‌های محدوده‌ی قلاچه زیر ۲۰ درصد است که نشان‌دهنده‌ی تغییرات ناچیز آبدهی و تأثیرپذیری کمتر این آبخوان‌های کارستی از تغییرات بارشی است. ضریب تغییرات در چشمه‌های محدوده‌ی پراو-بیستون، چند برابر ضریب تغییرات چشمه‌های قلاچه است. در مورد چشمه ارمنی‌جان، این مقدار حتی به ۱۲۷ درصد می‌رسد. در مورد دیگر چشمه‌ها، نیز از ۴۴ درصد در چشمه برکه، تا ۹۵ درصد در چشمه نجیبران متغیر است (جدول ۵). وجود اشکال متعدد اتحالی در محدوده‌ی پراو-بیستون مانند انواع کارن، پولیله‌های وسیع، اووالا با ابعاد متفاوت و دولین‌ها (شکل ۲) سبب شده منحنی فرود چشمه‌ها دارای چند رژیم با آبدهی متغیر باشد. نمودار همبستگی ضریب  $\alpha$  و تغییرات دبی بیان کننده‌ی رابطه‌ی مستقیم بین ضریب فروکش چشمه‌ها با تغییر در مقادیر آبدهی است، بررسی نمودار الف، شکل ۵ چهار چشمه محدوده قلاچه با تغییرات بسیار ناچیز در آبدهی و منطبق بر خط همبستگی را در مقابل چشمه‌های محدوده‌ی پراو-بیستون با پراکنش بسیار زیاد و تغییرات زیاد در آبدهی دیده نشان می‌دهد. در نمودار همبستگی بین

### تحلیل هیدرو دینامیک و منحنی فرود چشمه‌ها

به منظور تعیین درجه توسعه یافتنگی کارست، منحنی فرود هیدروگراف چشمه‌های مورد مطالعه در آبخوان‌های کارستی پراو-بیستون و قلاچه ترسیم گردید، رابطه‌ی هر یک از منحنی‌ها با توجه به (جدول ۱) محاسبه شد. مقادیر  $\alpha$  و  $\beta$  برای تعیین درجه توسعه یافتنگی کارست مشخص شد. با توجه به (شکل ۴) و (جدول ۱) درجه توسعه یافتنگی کارست برای تمام چشمه‌های محدوده‌ی قلاچه ۲,۵ تا ۳ می‌باشد. در این آبخوان‌ها تغذیه عملاً از طریق درز و شکاف‌های نه‌چندان توسعه یافته‌ی سطح تاقدیس صورت می‌گیرد. عمدترين شکل کارستی در تاقدیس، انواع لایه، دولین‌های اتحالی و ریزشی با محدودیت نفوذپذیری و پولیله می‌باشد که بستر پولیله‌ها به دلیل فرایند خاکزایی با رسوبات نه چندان نفوذپذیر پر شده است. به علت جوانی کارست و غلبه درز و شکاف‌های کوچک به مجاری وسیع، ارتباط زیادی بین لیتولوژی و آب ذخیره در آبخوان وجود دارد. مقادیر بسیار کم ضریب  $\alpha$  نمایانگر تغییر ناچیز در آبدهی در طول دوره‌ی خشکی نسبت به تمام سال است. در آبخوان‌های کارستی محدوده‌ی پراو-بیستون شکل منحنی فرود و روابط منحنی فرود وضعیتی کاملاً متفاوت دارد. در این آبخوان‌ها چشمه‌های ارمنی‌جان، چشمه سهرباب و بیستون هر یک دارای چهار زیر رژیم آشفته، شامل دو زیر رژیم خطی و دو زیر رژیم آشفته، هستند. درجه توسعه یافتنگی کارست در آبخوان مربوط به این چشمه‌ها مطابق (جدول ۱) و (شکل ۴) عدد ۶ می‌باشد. در این آبخوانها غلبه تخلیه با جریان خطی است. شکل (۴) وجود دو جریان آشفته در این چشمه‌ها و بالا بودن مقادیر  $\beta_1$  نسبت به  $\beta_2$  حاکی از تغییرات شدید منحنی فروکش در این چشمه‌ها است. در چشمه‌های کمیجه، نجیبران، برناج و برکه با توجه

انتشاری و از راه لایه، درزه‌ها و شکاف‌هایی است که در آهک آسماری شکل گرفته‌اند. برخلاف توده‌ی پراو-بیستون، رسوب‌زایی زیاد در کف پولیه‌ها در تاقدیس قلاچه از عوامل کاهش سرعت تغذیه از طریق پولیه در رأس تاقدیس است. در توده‌ی پراو-بیستون به جای پولیه با کف هموار و تغذیه محدود، وجود اووالا با بسترهای ناهموار که دولین‌ها و جاماهای فراوانی در آن توسعه پیدا کرده‌اند، زمینه‌ی نفوذپذیری و واکنش سریع آبخوان به تغییرات رژیم بارشی را فراهم می‌کند.

آبدهی و ضریب کمترین آبدهی رابطه عکس است، به این معنی که توزیع آبدهی در چشم‌های محدوده‌ی پراو-بیستون از یک رژیم یکنواخت تبعیت نمی‌کند. رژیم آشفته و مجرایی و پایین بودن حجم ذخیره دینامیک، ناشی از تراکم زیاد درز و شکاف در آهک بیستون است. بالا بودن حجم ذخیره دینامیک چشم‌های محدوده‌ی قلاچه سبب شده نوسان زیادی بین آبدهی حداکثر و حداقل چشم‌های وجود نداشته باشد. تغذیه‌ی آبخوان‌های کارستی در قلاچه به صورت



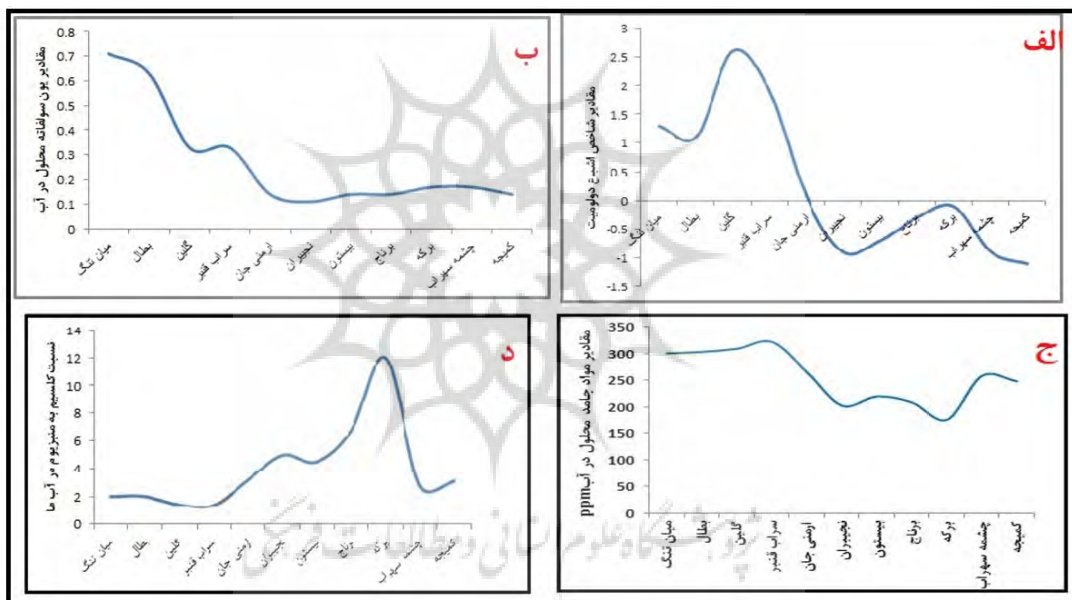
شکل ۵: نمودار الف، رابطه‌ی ضریب تغییرات دبی و ضریب ناهمشکلی چشم‌های، ب، رابطه‌ی مستقیم ضریب تغییرات دبی کمترین آبدهی را نشان می‌دهد و نمودار ج ضریب تغییرات دبی و ضریب  $\alpha$  در چشم‌های را نشان می‌دهد.  
تahieh و ترسیم: نگارندگان، ۱۳۹۴

شد. بالا بودن میزان آئیون‌ها و کاتیون‌ها و نیز هدایت الکتریکی زیاد و سختی بالای آب در نمودار شکل ۶ و نمودار پایپر (شکل ۷) نشان می‌دهد که سطح تماس بین آب و لیتولوژی تاقدیس قلاچه بالا است و تکامل کارست در مراحل اولیه می‌باشد. نسبت کلسیم به منیزیوم برای چشم‌های محدوده‌ی قلاچه به عدد یک نزدیک است و این مقدار برای هیچ یک از چشم‌های در

تحلیل هیدرو شیمی چشم‌های کارستی در جدول ۳ میزان شاخص اشباع برای هر یک از چشم‌های کارستی و نیز نسبت  $Ca/Mg$  در دو محدوده آمده است. با هدف مطالعه تأثیر ساختار زمین‌شناسی و لیتولوژی بر ترکیب شیمیایی آب چشم‌های، داده‌ها هیدرو شیمیایی آب تهیه و سپس به ترسیم نمودار پایپر حاصل از آزمایش نمونه آب اقدام

بیستون است (شکل ۶ و جدول ۳). مقادیر شاخص اشباع  $SI_d$  برای چشمه‌های محدوده‌ی پراو- بیستون تحت شرایط اشباع و منفی است (شکل ۶). این امر بیانگر وجود جریان انتشاری- مجرایی، عدم ارتباط زیاد آب و سازندگان منطقه است. در آبخوان قلاچه مقادیر شاخص‌های اشباع مثبت می‌باشد که دلیل ارتباط زیاد آب زیرزمینی با لیتولوژی آبخوان است.

این محدوده از ۲,۵ فراتر نمی‌رود در حالی که این نسبت در چشمه‌های محدوده‌ی پراو- بیستون بالاتر از ۳ و حتی در چشم‌برکه به عدد ۱۲ می‌رسد (شکل ۶). چنین حالتی خلوص بالای آهک را نشان می‌دهد. نسبت پایین کلسیم در چشمه‌های آبخوان کارستی محدوده‌ی قلاچه در مقایسه با پراو- بیستون به روشنی گویای آبخوان کارستی دولومیتی در محدوده‌ی قلاچه و وجود آبخوان کارستی آهکی در محدوده‌ی پراو-



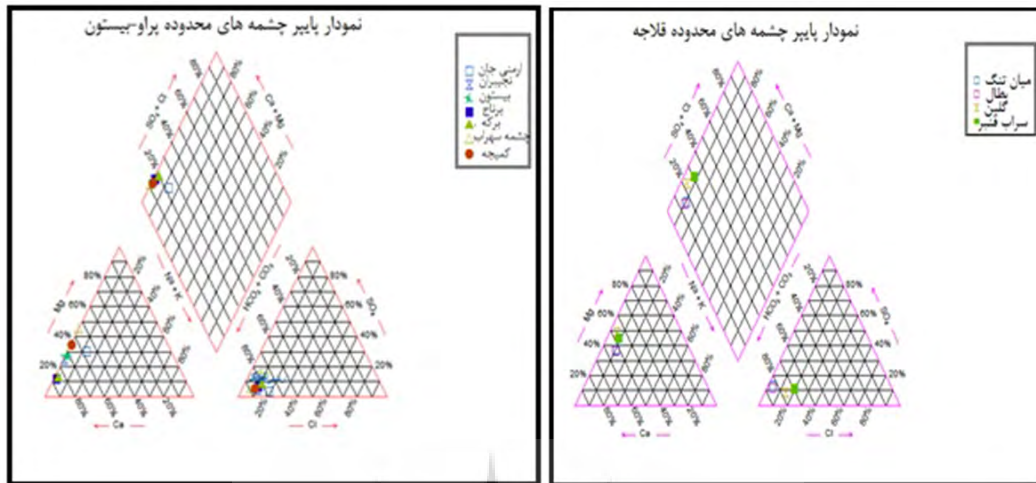
شکل ۶: نمودار الف- شاخص اشباع دولومیت  $SI_d$  در چشمه‌ها ب- یون سولفاته محلول در آب چشمه‌ها ج- مقادیر مواد

حامد محلول در آب چشمه‌ها د- نسبت کلسیم به مینیزیوم در آب چشمه‌ها را نمایش می‌دهد.

تپه و ترسیم؛ نگارندهان، ۱۳۹۴.

در مسیر حرکت آب زیرزمینی و مجاورت بیشتر جریان با لیتولوژی نسبت به محدوده‌ی پراو- بیستون است. بالابودن میزان این یون‌ها سبب سختی آب چشمه‌های قلاچه در مقایسه با آب چشمه‌های پراو- بیستون شده است. (شکل ۶).

این ارتباط بیان‌کننده‌ی عدم توسعه‌ی کارست و شکستگی‌ها در محدوده‌ی قلاچه است. بالا بودن میزان یون بی‌کربناته و یون سولفاته در چشمه‌های کارستی قلاچه بیشتر از چشمه‌های محدوده‌ی پراو- بیستون است (شکل ۶). این امر ناشی از رسوب بیشتر کانی‌ها



شکل ۷: نمودار پایپر نمایش نتایج تجزیه و تحلیل شیمیایی آب چشم‌های

تهریه و ترسیم؛ نگارندهان، ۱۳۹۴

ناحیه است، جوانی و خلوص کمتر نسبت به آهک بیستون از یک طرف و تأثیر عوامل ژئومورفولوژیک مانند شکل آبخوان، ارتفاع و تأثیر متفاوت عملکرد تکتونیک از طرف دیگر سبب شده درجه‌ی توسعه‌یافتگی کارست در قلاچه پایین‌تر از توده‌ی پراو-بیستون باشد. شکل آبخوان در تاقدیس قلاچه کشیده تر از آبخوانهای کارستی پراو-بیستون است (شکل ۳). آنالیز شیمیایی آب چشم‌های می‌تواند بیانگر توسعه‌یافتگی یا عدم توسعه‌ی کارست در یک ناحیه باشد. در محدوده‌ی پراو-بیستون آب چشم‌های با رخساره کلسیتی و نسبت بالای Ca به Mg که در مواردی مانند چشم‌های برکه حتی به عدد ۱۲ می‌رسد، خلوص بالای آهک در این محدوده را نشان می‌دهد. در مقابل، پایین بودن نسبت Dolomitی بودن کارست در این محدوده است. شاخص اشباع مثبت در چشم‌های محدوده‌ی قلاچه Ca به Mg در آبخوانهای کارستی تاقدیس می‌باشد که وجود جریان انتشاری در آبخوانهای این نشان‌دهنده‌ی وجود جریان انتشاری در آبخوانهای این محدوده و عدم توسعه‌ی کامل کارست است، در حالی‌که در محدوده‌ی پراو-بیستون شاخص اشباع منفی دلیل تراکم بیشتر شکستگی‌ها و وجود جریان

### نتیجه

گستردگی سازند آهکی بیستون در آبخوان‌های کارستی توده‌ی پراو-بیستون که قابلیت انحلالی زیادی دارد، زمینه را برای شکل‌گیری و توسعه‌ی اشکال کارستی فراهم نموده است. انواع متنوعی از اشکال کارستی در محدوده‌ی پراو-بیستون، پولیله با ابعاد وسیع و غارها و دره‌های کارستی را می‌توان مشاهده کرد. از جمله مهمترین پیامدهای توسعه‌ی کارست و تأثیرپذیری آن از تکتونیک و لیتولوژی خاص منطقه شکل‌گیری چشم‌های با رژیم‌های آبدی متفاوت است. آبخوان‌های کارستی محدوده‌ی پراو-بیستون دارای درجه‌ی توسعه‌ی کارست ۵ و ۶ هستند در حالی‌که چشم‌های آبخوان تاقدیس قلاچه با داشتن منحنی فروید یکنواخت دارای یک یا دو رژیم کم نوسان هستند و درجه‌ی توسعه‌ی کارست در این محدوده ۳,۵ تا ۲,۵ می‌باشد. از مهمترین عوامل در پایین بودن درجه توسعه‌یافتگی کارست در آبخوانهای این ناحیه ویژگی‌های لیتولوژی و ژئومورفولوژی است. آهک آسماری گرچه از سازندهای مستعد انحلال در این

- تالی قهرودی، منیژه؛ طاهره جلیلیان؛ فرشاد علیجانی (۱۳۹۳). شناسایی سیستم جریان زیرزمینی کارستی در توده پراو- بیستون. استان کرمانشاه، فصلنامه بین‌المللی پژوهشی تحلیلی منابع آب و توسعه. سال دوم. شماره ۴. صفحات ۲۷-۳۹.
- جهانی بهبهانی، حمیدرضا (۱۳۷۲). نقش خطواره‌ها در کنترل جریان آب زیرزمینی در مناطق چین‌خوردۀ کارستی، پایان‌نامه کارشناسی ارشد. دانشگاه شیراز. گروه زمین‌شناسی- آبشناسی.
- دشتی برمهکی، مجید؛ محسن رضایی؛ جواد اشجاری (۱۳۹۴). پتانسیل‌یابی منابع آب کارست کوههای دوان و شاپور براساس تضمیم‌گیری چندمعیاره. مجله پژوهش آب ایران. شماره ۱. پیاپی ۱۶. صفحات ۸۹-۱۰۰.
- رنگزمن، کاظم؛ احسان آبشارینی (۱۳۸۴). بررسی نقش عوامل ساختاری، لیتو‌لوژیکی و توپوگرافی در رخمنون چشمۀ‌های طاقدیس کارستی پابده-لالی، مجموعه مقالات بیست‌وسومین همایش زمین‌شناسی تهران.
- سازمان زمین‌شناسی کشور (۱۳۷۱). نقشه‌های زمین‌شناسی کرند و ایلام. مقیاس ۱:۱۰۰۰۰۰.
- سازمان نقشه‌برداری کشور (۱۳۹۱). نقشه‌های توپوگرافی ۱:۲۵۰۰۰.
- قبادی، محمدحسین؛ یاسین عبدالرئیس؛ بیزان محبی (۱۳۹۰). اهمیت شناخت خصوصیات ژئومورفو‌لوژیکی. سنگ‌شناسی و فیزیکی سنگ‌های کربناته. جهت ارزیابی توسعه کارست در منطقه نهادون. فصلنامه زمین‌شناسی کاربردی. سال ۷. شماره ۴. صفحات ۲۹۹-۳۱۰.
- قدیمی، مهرنوش؛ حسن احمدی؛ ابراهیم مقیمی؛ منصور جعفری‌بیگلو (۱۳۹۳). بررسی هیدرولوژی‌شیمیایی چشمۀ‌های کارستی اشتران کوه در ارتباط با سازنده‌های زمین‌شناسی منطقه، نشریه مرتع و آبخیزداری. مجله منابع طبیعی ایران. دوره ۶۷. شماره ۲. صفحات ۲۷۸-۲۶۳.

محرابی- انتشاری(خطی- آشفته) است. مطالعه ضریب آلفا و بالا بودن سختی املاح (TDS) و حجم بالای ذخیره دینامیکی چشمۀ‌ها نشان‌دهنده مسافت زیادی است که آب برای رسیدن به خروجی چشمۀ باید طی کند. در مقایسه‌ی توسعه‌ی کارست در دو ناحیه، کاربرد ویژگی‌های هیدرودینامیک و هیدروشیمی شاخص ارزشمندی است. ژئومورفو‌لوژی متفاوت دو ناحیه سبب شده که علیرغم شرایط مشابه بارشی، ارتفاع بیشتر و فرم‌های توسعه‌یافته سطحی کارست، روی توسعه- یافتنی کارست زیر سطحی تأثیر بسزایی داشته باشد. در محدوده‌ی پراو- بیستون وجود مجاری وسیع با آبدۀ زیاد نشان‌دهنده مساعدت ژئومورفو‌لوژی کارست ناحیه در درجه اول و سپس عواملی مانند ویژگی‌های لیتو‌لوژی و عامل ارتفاع در تعیین درجه توسعه‌ی کارست است. با توجه به شرایط هیدرودینامیک دو محدوده‌ی مورد مطالعه و نیز تجزیه و تحلیل هیدر و شیمی آب‌چشمۀ‌ها، کارست پراو- بیستون توسعه‌یافته‌تر از کارست در تاقدیس قلاچه است.

#### منابع

- اداره کل شیلات استان کرمانشاه (۱۳۹۱). امکان‌سنجی پرورش ماهیان خاویاری. طرح تحقیقاتی.
- باقری، سجاد؛ مجتبی یمانی؛ منصور جعفری‌بیگلو؛ حاجی کریمی؛ ابراهیم مقیمی (۱۳۹۴). بررسی توسعه‌یافتنی ویژگی‌های هیدرودینامیکی سامانه‌های کارستی با استفاده از تجزیه و تحلیل منحنی فرود هیدر و گراف (مطالعه موردنی: آبخوان‌های کارستی حوضه رودخانه الوند)، پژوهش‌های جغرافیای طبیعی. شماره ۳. پاییز ۱۳۹۴. صفحات ۳۴۶-۳۳۳.
- بهرامی، شهرام؛ محمدلعی زنگنه‌اسدی؛ حمزه رهبر (۱۳۹۲). بررسی نقش ژئومورفو‌لوژی در ویژگی‌های هیدرولوژیکی و شیمیایی چشمۀ‌های حوضه آبخیز کنگره، جغرافیا و آمیش شهری- منطقه‌ای. دوره ۳. شماره ۷. صفحات ۸۴-۷۱.

- ولایتی، سعدالله؛ فریده خانعلیزاده (۱۳۹۱) بررسی ساختارهای تکتونیک و اشکال کارستی (مطالعه موردي حوضه آبریز کارده)، *فصلنامه علمی- پژوهشی انجمان چهارگیان ایران*. دوره جدید. سال نهم . شماره ۳۱. صفحات ۱۸۹-۱۷۱.
- یمانی، مجتبی؛ علی‌اکبر شمسی‌پور؛ مریم جعفری‌اقدم؛ سجاد باقری‌سیدشکری (۱۳۹۰). بررسی عوامل مؤثر در توسعه‌یافتگی و پهنه‌بندی کارست حوضه چله با استفاده از منطق فازی و AHP. *استان کرمانشاه. علوم زمین*. سال ۲۲. شماره ۸۸. صفحات ۵۷-۶۶.
- Andreo, B., Goldscheider, N., Vadillo, I., Mar Vias, J., Neukum, C., Sinreich, M., Brechenmacher, J., Carrasco, F., Hotzl, H., Jesuperles, M. & Zwahlen, F (2006). Karst Groundwater Protection: First Application of a Pan-European Approach to Vulnerability, Hazard and Risk Mapping in Thesierra De Libar (Southern Spain), *Science of the Total Environment*, 357, 54-73.
- Atalay, I (2003). Effects of the Tectonic Movements on the Karstification in Anatolia, Turkey, *Acta Carsologica*, 16, 196-203,
- Bakalowicz, M (2005). Karst Groundwater: a challenge for new resources., *Hydrogeology Journal*. 13 (1), 148-160.
- Bonacci, O (1993). Karst springs hydrographs as indicators of karst aquifers, *Hydrological Sciences*, 38 (1), 51-62.
- Cooper, A. H., Farrant, A. R. & Price, j (2011). The use of karst Geomorphology for planning, hazard avoidance and development in Great Britabin, *Geomorphology*, 134, 118 -131
- Fiorillo, F., Revellino, P., Ventafridda, G. (2012). Karst Aquifer Draining during Dry periods. *Journal of Cave and Karst Studied*, 74 (2), 48 – 156.
- Ford, D.,& Williams, P (2007). karst Hydrogeology and Geomorphology, John Wiley & Sons, Ltd, 554 pp.
- قمی‌اویلی، جعفر (۱۳۷۶). مطالعه لیتواستراتیگرافی و بررسی کارستی شدن رخمنون‌های کربناته منطقه نواقلاجه در غرب استان کرمانشاه، پایان‌نامه کارشناسی ارشد. دانشگاه تهران.
- کلانتری، نصرالله؛ محمدمرضا کشاورزی؛ عباس چرچی (۱۳۸۸). عوامل مؤثر در ظهور چشممه‌های حوضه‌ی آبریز دشت ایذه، *فصلنامه زمین‌شناسی کاربردی*. سال ۵. شماره ۲. صفحات ۱۴۷-۱۳۵.
- کاظمی، رحیم؛ جعفر غیومیان؛ نادر جلالی (۱۳۸۵). بررسی نقش عوامل ساختاری در فراوانی منابع آب در منطقه کارستی لار با استفاده از سنجش از دور و GIS، *محله پژوهش و سازندگی در منابع طبیعی*. دوره ۱۹. شماره ۷۳. صفحات ۴۱-۳۳.
- محمودی، فرج‌الله؛ امجد ملکی (۱۳۸۰). تحول کارست و نقش آن در منابع آب زیرزمینی در ناهمواری‌های بیستون-پرآو کرمانشاه، *پژوهش‌های چهارگیانی*. شماره ۴۰. مهرماه ۱۳۸۰. صفحات ۱۰۵-۹۳.
- مرادی، صمد؛ محسن رضایی؛ جهانگیر پرهمت (۱۳۸۹). بررسی تأثیر عوامل ساختاری، سنگ‌شناسی و توپوگرافی بر ظهور چشممه‌ها در محدوده شیراز تا یاسوج، اولین کنفرانس ملی پژوهش‌های کاربردی منابع آب ایران ۲۱-۲۳ اردیبهشت. کرمانشاه.
- مقصودی، مهران؛ حاجی کریمی؛ فرشاد صفری؛ ذبیح‌الله چهارراهی (۱۳۸۸). بررسی توسعه کارست در توده پراو- بیستون با استفاده از ضرایب فروود، زمان مرگ چشممه‌ها و تحلیل نتایج ایزوتوپی و شیمیایی. *پژوهش‌های چهارگیانی*. دوره ۴۱. شماره ۶۹. صفحات ۶۵-۵۱.
- ملکی، امجد؛ محسن اویسی (۱۳۹۱) *شناسایی ساختار گسلی و تحول چشممه‌های کارستی با استفاده از رadar نفوذی (مطالعه موردي استان کرمانشاه)*, *چهارگیانی و پایداری محیط*. دوره ۲. شماره ۳. صفحات ۱۰-۱.

- Ilman, E (1980). Levaluation du regime des eaux souterraines dans les roches carbonatiques du Mesozoique des Carpates Occidentales par les courbes de tarissement des sources. Geologicky u stav Diony za S tura, Bratislava. Za padne Karpaty. Se r. hydrogeolo gia a inzinierska geolo gia 3. PP:7-9
- Malik, P. & Vojtkova, S. (2012). Use of recession-curve analysis for estimation of karstification degree and its application in assessing over/underflow conditions in closely spaced karstic springs. Environmental Earth Sciences, 65, 2245-2257
- Maillet, E (1905). Essais d hydraulique Souterraine et Fluviale. Paris: Hermann.
- Milanovic, P (1981). Karst Hydrogeology. Water Resources Publications, Littleton, Colorado, USA, 434 pp.
- Milanovic, P (2004). Water Resources Engineering in Karst, CRC Press, Boca Raton New York Washington, D.C, 328 pp.
- Mohammadi, Z. & Raeisi, E. & Bakalowicz, M (2007). From behaviour of the Asmari limestone aquifer at the Khersan 3 Dam site, southern Iran, Hydrological Sciences Journal, 52, 206-220.
- Gilli, E., Boudin , F., Longuevergne , L., Florsch , N., Walch, J. J., Gomes, A., Depeyre, J., & Marie, J, C(2010). Neotectonics & current hydrologically- induced Karst deformation . Case study of the plateau de Calern, (Alpes-Maritimes , France ), Geodinamica Acta 23 (1), 34-64.
- Fiorillo, F., Revellino, P., Ventafridda, G. (2012). Karst Aquifer Draining during Dry periods. Journal of Cave and Karst Studied, 74 (2),148 – 156.
- Goldscheider,N. & Drew, D (2007). Methods in Karst Hydrogeology. Taylor & Francis Group , London , UK, 263 pp.
- Karimi, H., Raeisi, E. & Bakalowicz, M. (2005). Characterising the main Karst aquifers of the Alvand basin, Northwest of Zagros, Iran, by a hydrogeochemical approach, Hydrogeology Journal, 13 (6),787-799.
- Kresic, N. and Bonacci, (2010). "Spring discharge hydrograph. In Groundwater Hydrology of Springs: Engineering, Theory, Management, and Sustainability". Edited by N. Kresic and Z. Stevanovic, Elsevier Amsterdam, PP: 129-163.
- Kuhta, M., Brkić, Ž. and Stroj, A. (2012). "Hydrodynamic characteristics of Mt. Biokovo foothill springs in Croatia". Geologia Croatica. 65 (1), 41-52.

پردیس کاه علوم انسانی و مطالعات فرهنگی  
پردازش علوم انسانی